

حل عددی مسئله تنظیم راسبی غیرخطی ناپایای دوبعدی با استفاده از روش فشرده مک‌کورمک مرتبه چهارم

سرمد قادر^{۱*}، عباسعلی علی‌اکبری بیدختی^۲ و سعید فلاحت^۳

^۱ استادیار، گروه فیزیک فضا، مؤسسه زموفیزیک دانشگاه تهران، ایران

^۲ استاد، گروه فیزیک فضا، مؤسسه زموفیزیک، دانشگاه تهران، ایران

^۳ دانشجوی کارشناسی ارشد زموفیزیک، گروه فیزیک فضا، مؤسسه زموفیزیک دانشگاه تهران، ایران

(دریافت: ۱۹/۰۶/۸۷، پذیرش نهایی: ۲۱/۰۷/۸۷)

چکیده

در این مقاله حل عددی مسئله تنظیم راسبی غیرخطی ناپایای که یکی از فرایندهای مهم دینامیکی در جو و اقیانوس است، در دو حالت یکبعدی و دوبعدی با استفاده از روش فشرده مک‌کورمک مرتبه چهارم ارائه می‌شود. ابتدا به نحوه و چگونگی بهدست آوردن روابط این روش اشاره می‌شود. سپس برای بررسی عملکرد این روش در مقایسه با روش‌های مرتبه دوم مرکزی، مک‌کورمک مرتبه دوم و فشرده مرتبه چهارم از دو معادله مدل که دارای حل‌های تحلیلی هستند، استفاده می‌شود. نتایج، عملکرد دقیق‌تر روش فشرده مک‌کورمک را بهویژه هنگامی که میدان حل با ناپیوستگی همراه باشد، نشان می‌دهد. برای معادله مدل غیرخطی و برای میدان همراه با ناپیوستگی نتایج نشان می‌دهند که روش فشرده مرتبه چهارم مرکزی برای کنترل نوسانات اطراف ناپیوستگی، نیاز به استفاده از پالایه فشرده مکانی دارد، درصورتی که در روش فشرده مک‌کورمک جواب‌ها با توجه به ماهیت دونقطه‌ای روش پیش‌گفته، با دقت بیشتر و بدون نیاز به استفاده از پالایه مکانی بهدست می‌آیند. در ادامه نتایج مربوط به حل مسئله تنظیم راسبی غیرخطی ناپایای برای شرایط اولیه همراه با ناپیوستگی و برای حالت‌های متفاوت آورده شده است. نتایج بدست آمده توانایی این روش را برای استفاده در مدل‌های پیش‌بینی عددی وضع هوا برای پدیده‌های جبهه‌ای نشان می‌دهند.

واژه‌های کلیدی: روش فشرده مک‌کورمک، دقت عددی، تنظیم راسبی غیرخطی

Numerical solution of unsteady and non-linear Rossby adjustment problem using fourth-order compact MacCormack scheme

Ghader, S.¹, Aliakbari-Bidakhti, A. A.² and Falahat, S.³

¹Assistant Professor, Space Physics Department, Institute of Geophysics, University of Tehran, Iran

²Professor, Space Physics Department, Institute of Geophysics, University of Tehran, Iran

³M.Sc. Student of Geophysics, Space Physics Department, Institute of Geophysics, University of Tehran, Iran

(Received: 6 Sept 2008, Accepted: 13 Oct 2009)

Abstract

The compact finite difference schemes have been found to give simple ways of reaching the objectives of high accuracy and low computational cost. During the past two decades, the compact schemes have been used extensively for numerical simulation of various fluid dynamics problems. These methods have also been applied for numerical solution of some prototype geophysical fluid dynamics problems (e.g., shallow water equations). Most of the compact finite difference schemes are symmetric (usually with 3 or 5 point stencil) and finding each derivative requires a matrix inversion. However, by splitting the derivative operator of a central compact scheme into one-sided forward and backward

operators, a family of compact MacCormack-type schemes can be derived. While these classes of compact schemes are as accurate as the original central compact methods used to derive the one-sided forward and backward operators, they need less computational work per point. In addition, the one-sided nature of the method is an essential advantage of the method especially when severe gradients are present. These two features (i.e. high accuracy and low computational cost) makes the compact MacCormack-type scheme an attractive candidate for numerical models of the atmosphere and oceans.

This work focuses on the application of the fourth-order compact MacCormack-type scheme for numerical solution of the unsteady and non-linear Rossby adjustment problem (one and two dimensional cases). The second-order MacCormack method is also used for numerical solution of the equations. In the one-dimensional case, a single layer shallow water model is used to study the unsteady and nonlinear Rossby adjustment problem. The conservative form of the two-dimensional shallow water equations is used to study the unsteady and nonlinear Rossby adjustment problem in the two-dimensional case. For both cases, the time evolution of a fluid layer initially at rest with a discontinuity in the height filed is considered for numerical simulations.

Examination of the accuracy and efficiency of the fourth-order compact MacCormack scheme for some analytical linear and nonlinear prototype problems, indicates the superiority of the fourth-order compact MacCormack scheme over the fourth-order centered compact, second-order centered and second-order MacCormack finite difference schemes especially in the presence of a discontinuity in numerical solution.

For the Rossby adjustment problem, results show a clear improvement of the numerical solution, in particular near the discontinuity generated by the fourth-order compact MacCormack scheme compared to the second-order MacCormack method. Moreover, the overhead computational cost of the fourth-order scheme over the second-order method is very low. It is also observed that to keep the numerical stability it is necessary to use a compact spatial filter with the fourth-order compact MacCormack-type scheme at each time step.

Key words: Compact MacCormack Scheme, Numerical Accuracy, Nonlinear Rossby Adjustment

۱ مقدمه

پدیده‌ای معمولاً ناپیوستگی در میدان جرم و یا تکانه در زمان شروع فرایند درنظر گرفته می‌شود و با شروع فرایند مراحل تکامل تنظیم راسبی به دو مرحله گذرا (Transient و پایا (state) تقسیم می‌شود. با توجه به ماهیت خطی و مستقل از زمان معادلات حاکم بر مرحله پایا، در تحقیقات اولیه بیشتر بررسی‌های مربوط به مرحله پایا و یا به عبارت دیگر مرحله نهایی پدیده یاد شده، با توجه به پایستاری توابع پتانسیلی، بود. برای اینکه بتوان در ک بهتری از پدیده تنظیم راسبی به دست آورد می‌بایست بخش گذرای فرایند پیش‌گفته را مورد بررسی

اغلب پدیده‌های بزرگ مقیاس جویی و اقیانوسی بعد از یک ناپایداری و یا یک ناپیوستگی اولیه در میدان سرعت و یا تکانه که معمولاً با فرایند تبدیل انرژی پتانسیلی به جنبشی و تولید موج همراه است، تمایل دارند که درنهایت به صورت یک حالت راسبی پایا تنظیم شوند. به عبارت دیگر تنظیم راسبی (Rossby adjustment) یکی از ویژگی‌های بر جسته پدیده‌های بزرگ مقیاس جویی و اقیانوسی است (گیل ۱۹۸۲). از زمان راسبی تا کنون تحقیقات زیادی روی پدیده پیش‌گفته برای شناخت بهتر آن صورت گرفته است. برای بررسی نظری چنین

اصلی، از دو مسئله خطی و غیرخطی که دارای حل تحلیلی هستند برای سنجش توانایی و دقت روش در حل عددی معادلات همراه با ناپیوستگی در میدان حل، استفاده می‌شود. همچنین از روش مک‌کورمک مرتبه دوم برای گسسته‌سازی مکانی و ایجاد امکان مقایسه بهتر جواب‌ها استفاده می‌شود. در نهایت نیز نتایج حل عددی معادلات تنظیم راسبی غیرخطی آورده می‌شوند.

۲ روش فشرده مک‌کورمک

۱-۲ فرمول‌بندی روش

جزئیات مربوط به نحوه به‌دست آوردن فرمول‌بندی روش فشرده مک‌کورمک مرتبه چهارم را هیکسون و ترکل (۲۰۰۰) و همچنین فلاحت (۱۳۸۷) به صورت مشروح ذکر کرده‌اند و در اینجا فقط فرمول‌بندی آن به صورت خلاصه ذکر می‌شود. شکل عمومی خانواده روش‌های فشرده برای برآورد مشتق مرتبه اول یک تابع دلخواه را می‌توان به صورت زیر نوشت:

$$[B]\{D\} = \frac{1}{\Delta x}[C]\{f\} \quad (1)$$

که در آن Δx فاصله شبکه‌ای، D مشتق مکانی تابع f و $[C]$ و $[B]$ به ترتیب ماتریس‌های ضرایب برای تابع f و عملگر مشتق D هستند. حال برای رسیدن به روابط روش فشرده مک‌کورمک، عملگر ضمنی D به دو عملگر پیش رو و پس رو به صورت زیر تجزیه می‌شود:

$$\{D\} = \frac{\{D^F\} + \{D^B\}}{2} \quad (2)$$

در این رابطه بالانویس‌های F و B به ترتیب نمایانگر عملگرهای پیش رو و پس رو برای برآورد مشتق اول هستند. برای رسیدن به روش مرتبه چهارم عملگرهای پیش رو و پس رو به صورت زیر به‌دست خواهد آمد:

$$a D_{i+1}^F + (1-a) D_i^F = \frac{1}{\Delta x} (f_{i+1} - f_i) \quad (3)$$

$$a D_{i-1}^B + (1-a) D_i^B = \frac{1}{\Delta x} (f_i - f_{i-1}) \quad (4)$$

بیشتری قرار داد. با توجه به ماهیت غیرخطی و وابسته به زمان معادلات حاکم بر مرحله گذرا و نبود حل تحلیلی برای این معادلات، برای شناخت این مرحله باید از روش‌های عددی استفاده کرد. برای حل عددی معادلات حاکم بر مرحله گذرا ابتدا می‌باید شکل اولیه ناپیوستگی در میدان جرم و یا تکانه تعیین شود و سپس با استفاده از یک روش عددی که توانایی شبیه‌سازی مناسب ناپیوستگی را دارد، جواب مناسب در زمان‌های متفاوت به‌دست آید.

در سال‌های اخیر گرایش به افزایش دقت در شبیه‌سازی‌های عددی شارش‌های جویی و اقیانوسی با توجه به پیچیدگی ذاتی این شارش‌ها افزایش یافته است. روش‌های فشرده با توجه به کارایی مناسبی که در شبیه‌سازی عددی حرکت شاره‌ها در سایر شاخه‌های دینامیک شاره‌ها نشان داده‌اند، در تحقیقات اخیر مورد توجه قرار گرفته‌اند (اصفهانیان و همکاران، ۲۰۰۵، محب‌الحجه و دریچل ۲۰۰۷). اغلب روش‌های فشرده از نوع مرکزی هستند و در واقع چنین روش‌هایی با توجه به ماهیت ذاتی موجود در آنها برای شبیه‌سازی میدان‌های شارش همراه با ناپیوستگی مناسب نیستند. بنابراین اگر در نظر باشد که میدان شارش همراه با ناپیوستگی، مانند مسئله تنظیم راسبی انتخاب شده در تحقیق حاضر، با دقت و با استفاده از روش‌های تفاضل محدود فشرده شبیه‌سازی شود، می‌بایست از روشی استفاده کرد که در آن بتوان علاوه بر افزایش دقت، تعداد نقاط درگیر در فرمول‌بندی روش تفاضل محدود را به دو نقطه محدود ساخت.

در مقاله حاضر برای حل عددی مسئله تنظیم راسبی غیرخطی ناپایای در دو حالت یک‌بعدی و دو بعدی از روش فشرده مک‌کورمک (Fourth order compact) (MacCormack scheme) مرتبه چهارم استفاده می‌شود. در ابتدا نحوه به‌دست آوردن روابط روش مورد نظر عرضه می‌شود و پس از آن پیش از اعمال روش به معادلات

$$\begin{aligned} u^* &= u^n - \Delta t F(u^n)^F, \\ u^{n+1} &= \frac{1}{2}(u^n + u^* - \Delta t F(u^*)^B) \end{aligned} \quad (6)$$

همان‌طور که از رابطه پیدا است، روش مک‌کورمک یک روش دومرحله‌ای است که در مرحله اول مقداری موقتی برای کمیت u پیش‌بینی می‌شود (یعنی u^*) و در مرحله دوم مقدار کمیت u در زمان $n+1$ به دست می‌آید. در رابطه (۶) بالانویس‌های F و B به ترتیب نمایانگر عملگرهای پیش‌رو و پس‌رو برای برآورد مشتق مرتبه اول مکانی هستند. برخلاف روش مک‌کورمک مرتبه دوم که در آن عملگرهای پیش‌گفته از روش تفاضل متنه‌ای سنتی دونقطه‌ای مرتبه اول یک‌سویه به دست می‌آیند، در روش فشرده مک‌کورمک عملگرهای پیش‌رو و پس‌رو با استفاده از روابط (۳) و (۴) به دست می‌آیند.

۳ بررسی دقت

در این بخش به بررسی دقت روش فشرده مک‌کورمک در مقایسه با روش مک‌کورمک مرتبه دوم و روش‌های مرتبه دوم مرکزی و فشرده مرتبه چهارم همراه با روش گسته‌سازی زمانی لیپ‌فراگ پرداخته می‌شود. از روش‌های یاد شده برای حل دو معادله مدل یک‌بعدی فرارفت خطی و برگز ناوشکسان که دارای حل تحلیلی هستند، استفاده می‌شود. برای آنکه بتوان در کم مناسبتری از میزان تفاوت دقت بین روش‌های مورد بررسی به دست آورده، در اینجا از یک نرم برای محاسبه میزان خطای هر یک از روش‌ها استفاده می‌شود. از بین نرم‌های متعددی که می‌توان تعریف کرد، در تحقیق حاضر از نرم زیر استفاده شده است:

که $a = \frac{1}{2} - \frac{1}{2\sqrt{3}}$ است. در واقع جمع این دو عملگر، عبارتی با دقیقی از مرتبه چهارم است. این مطلب فرق اساسی روش فشرده مک‌کورمک با روش مک‌کورمک مرتبه دوم را که در آن حاصل جمع دو عملگر پیش‌رو و پس‌رو عبارتی با دقیقی از مرتبه دوم است، روشن می‌سازد. اگر دو رابطه بالا بر نقاط داخلی یک شبکه یکنواخت اعمال شوند، دستگاه معادلات جبری حاصل شامل ماتریس‌های دوقطه‌ای است که برای حل آنها می‌باید از عمل جای‌گذاری پیش‌رو برای عملگر پس‌رو و جای‌گذاری پس‌رو برای عملگر پیش‌رو استفاده کرد. ذکر این نکته در اینجا ضروری است که برای عمل جای‌گذاری که در بالا به آن اشاره شد، دانستن مقادیر عملگرهای پیش‌رو و پس‌رو در مرازها لازم است. مقادیر عملگرهای مورد نظر در مرازها با استفاده از روش صریح پنج نقطه‌ای یک‌سویه به دست می‌آید. در این روش مقادیر عملگرها در مرازها با دقیقی از مرتبه‌ای برابر با عملگرهای پیش‌رو و پس‌رو نقاط داخلی تقریب زده می‌شود (هیکسون و ترکل ۲۰۰۰، فلاحت ۱۳۸۷).

۴-۲ پیمایش زمانی

برای پیمایش زمانی از روش مک‌کورمک استفاده می‌شود (هیکسون و ترکل ۲۰۰۰). صورت کلی شکل پایستار معادلات را می‌توان به صورت زیر درنظر گرفت:

$$\frac{\partial u}{\partial t} + F(u) = 0 \quad (5)$$

در رابطه بالا u متغیر پیشیابی و F تابعی از u بوده و بسته به اینکه مسئله یک‌بعدی، دو‌بعدی و یا سه‌بعدی باشد، شامل مشتق اول تابع در راستای محورهای مختصات خواهد بود. بنابراین شکل گسته‌سازی معادله بالا در زمان با استفاده از روش مک‌کورمک به صورت زیر به دست می‌آید:

مرتبه دوم مرکزی و مک‌کورمک مرتبه دوم و همچنین روش‌های فشرده مرتبه چهارم و فشرده مک‌کورمک مرتبه چهارم به یکدیگر نزدیک هستند. در واقع چنین نتیجه‌ای به این دلیل است که روش‌های مرکزی و دونقطه‌ای مک‌کورمک هم مرتبه در حالتی که میدان حل، فاقد ناپیوستگی باشد، مشابه عمل می‌کنند. چراکه در واقع مجموع دو عملگر پیش‌بینی و تصحیح در روش مک‌کورمک یک عملگر مرکزی را نتیجه می‌دهد.

۲-۳ معادله برگرز ناوشكسان
دومین معادله انتخاب شده معادله غیرخطی برگرز (Burgers) ناوشكسان به شکل زیر است:

$$\frac{\partial u}{\partial t} + u \frac{\partial u}{\partial x} = 0 \quad (9)$$

معادله بالا را در شکل پایستان خود می‌توان به صورت زیر نوشت:

$$\frac{\partial u}{\partial t} + \frac{\partial F}{\partial x} = 0, \quad F = \frac{u^2}{2} \quad (10)$$

در اینجا از دو شرط اولیه که برای هر کدام جواب تحلیلی وجود دارد (پینچور و روینستین ۲۰۰۵) برای حل معادله برگرز استفاده شده است. اولین شرط اولیه به صورت یک ناپیوستگی و یا به عبارت دیگر یک شوک است. برای حل عددی از یک شبکه یکنواخت که محدوده تغییرات x در آن $0 \leq x \leq 450$ است، با تعداد نقاط $n_g = 471$ استفاده شده است. جدول ۱ خطای کلی به دست آمده به کمک نرم I_2 را برای روش‌های متفاوت در زمان $s = 400$ برای روش‌های متفاوت نشان می‌دهد. این جدول نشان می‌دهد که روش فشرده مک‌کورمک مرتبه چهارم نسبت به سایر روش‌ها دقیق‌تر عمل می‌کند. البته می‌توان مشاهده کرد که خطای روش

$$I_2(u) = \frac{\left\{ I \left(|\tilde{u}_m - u_m|^2 \right) \right\}^{1/2}}{\left\{ I \left(|u_m|^2 \right) \right\}^{1/2}}, \quad (7)$$

$$I(u) = \sum_{m=1}^N u_m$$

که در آن N تعداد نقاط، u مقدار دقیق تابع مورد بررسی و \tilde{u} مقدار بدست آمده از روش عددی است.

۳-۱ معادله فرارفت

اولین معادله انتخاب شده برای بررسی دقیق روش‌های متفاوت، معادله فرارفت با ضریب ثابت $C=1$ است که رابطه زیر بیان می‌شود:

$$\frac{\partial u}{\partial t} + \frac{\partial u}{\partial x} = 0 \quad (8)$$

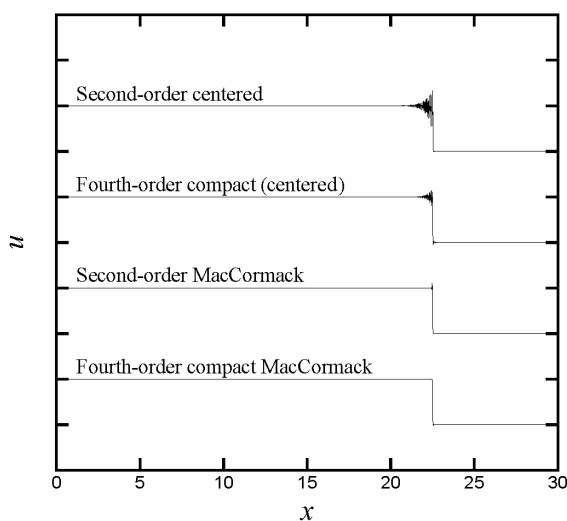
برای حل عددی معادله بالا از شرایط اولیه و مرزی که با هیکسون و ترکل بیان کرده‌اند، استفاده می‌شود. در حل عددی از یک شبکه یکنواخت که محدوده تغییرات x در آن $0 \leq x \leq 450$ است، با تعداد نقاط $n_g = 471$ استفاده شده است. جدول ۱ خطای کلی به دست آمده به کمک نرم I_2 را برای روش‌های متفاوت در زمان $s = 400$ برای روش‌های متفاوت نشان می‌دهد. این جدول نشان می‌دهد که روش فشرده مک‌کورمک مرتبه چهارم نسبت به سایر روش‌ها دقیق‌تر عمل می‌کند. البته می‌توان مشاهده کرد که خطای روش

جدول ۱. مقایسه خطای کلی محاسبه شده به کمک نرم I_2 برای روش‌های متفاوت برای معادله فرارفت با ضریب ثابت در زمان $s = 400$.

روش	گستره‌سازی زمانی	تفکیک (n_g)	خطای کلی
مرتبه دوم مرکزی	لیپ فراغ	471	8.8382×10^{-1}
فسرده مرتبه چهارم	لیپ فراغ	471	1.4474×10^{-1}
مرتبه دوم	مک‌کورمک	471	8.9547×10^{-1}
فسرده مرتبه چهارم	مک‌کورمک	471	9.2106×10^{-2}

برای اینکه در ک بهتری از توانایی روش‌های عددی در تفکیک شوک حاصل آید، در شکل ۱ میدان تحول یافته u در زمان $t = 15 \text{ s}$ نشان داده شده است در شکل نوسانات حول ناحیه ناپوستگی در حل به دست آمده از روش‌های مرکزی کاملاً مشهود است. شکل به خوبی توانایی بسیار مناسب روش فشرده مک‌کورمک مرتبه چهارم را برای تفکیک مناسب میدان حل نشان می‌دهد. نکته قابل توجه دیگر در شکل این است که روش‌های مک‌کورمک به دلیل ماهیت دونقطه‌ای خود از عملکرد بسیار بهتری در تفکیک شوک برخودارند. جدول ۲ خطا را برای این شرایط اولیه نشان می‌دهد. این جدول نیز عملکرد دقیق‌تر روش‌های مک‌کورمک را تایید می‌کند.

از بین تفکیک‌های مناسب برای حل عددی معادله فوق از تفکیک $n_g = 1601$ برای همه روش‌ها استفاده شده است. در بین روش‌های عددی، روش‌های مرکزی به دلیل اینکه تعداد نقاط در گیر در این روش‌ها بیشتر از دو نقطه است، هنگام شبیه‌سازی برای تفکیک شوک ضعیف عمل می‌کنند. بهمین دلیل و با توجه به ماهیت غیرخطی معادله مورد بررسی، برای جلوگیری از خطای ناشی از اندر کنش بخش غیرخطی معادله از یک پالایه مکانی فشرده مرتبه چهارم که لی لی (۱۹۹۲) معرفی کرده است، برای حذف طول موج‌های کوچک‌تر از دو برابر فاصله شبکه‌ای برای روش‌های مرتبه دوم مرکزی و فشرده مرتبه چهارم (مرکزی) استفاده شده است.



شکل ۱. جواب معادله برگرز ناوشکسان با شرط اولیه شوک در زمان $t = 15 \text{ s}$ برای روش‌های متفاوت.

جدول ۲. مقایسه خطای کلی محاسبه شده به کمک نرم افزار MATLAB برای روش‌های متفاوت برای معادله برگرز ناوشکسان با شرط اولیه شوک در زمان $t = 15 \text{ s}$.

خطای کلی	n_g	گسسته‌سازی زمانی	روشن
1.8805×10^{-2}	1601	بیم و ورمنگ	مرتبه دوم مرکزی
6.8833×10^{-3}	1601	بیم و ورمنگ	فشرده مرتبه چهارم
1.0427×10^{-2}	1601	لکس وندروف	مرتبه دوم مرکزی
6.7052×10^{-3}	1601	لکس وندروف	فشرده مرتبه چهارم
3.0344×10^{-2}	1601	لیپ فراگ	مرتبه دوم مرکزی
9.1902×10^{-3}	1601	لیپ فراگ	فشرده مرتبه چهارم
1.0017×10^{-2}	1601	مک‌کورمک	مرتبه دوم
2.0850×10^{-3}	1601	مک‌کورمک	فشرده مرتبه چهارم

غیرخطی که پیچیدگی زیادی ندارند، تا حد مناسبی اندرکنش‌های غیرخطی را کنترل کند.

جدول ۴ مقایسه زمان محاسبات برای روش‌های متفاوت در حل عددی معادله برگز با شرایط اولیه چندجمله‌ای درجه اول برای یک تحول زمانی به مدت $s = 30$ را نشان می‌دهد. از این جدول مشخص است که روش فشرده مک‌کورمک دارای زمان محاسباتی کمتری نسبت به سایر روش‌های فشرده است و این بدین علت است که در روش فشرده مک‌کورمک برخلاف عمل وارون کردن ماتریس‌های سهقطری در روش فشرده معمولی از عمل وارون کردن ماتریس‌های دوقطری استفاده می‌شود که این عمل در زمان محاسبات تاثیر زیادی دارد. بنابراین روش مک‌کورمک فشرده مرتبه چهارم علاوه بر دقیق‌تر بودن نسبت به روش‌های دیگر، می‌تواند در حل آن دسته از مسائل

در ادامه دومین شرایط اولیه انتخاب شده یعنی چندجمله‌ای درجه اول و یا به عبارت دیگر معادله خط راست بررسی می‌شود. در این مورد نیز حل عددی در یک شبکه یکنواخت که محدوده تغییرات x در آن $0 \leq x \leq 45$ است، و با تفکیک $n_g = 1601$ صورت گرفته است. جدول ۳ خطای کلی حاصل از حل عددی روش‌های گوناگون را برای شرایط اولیه پیش‌گفته در زمان $t = 30$ نشان می‌دهد. این جدول عملکرد بهتر روش فشرده مک‌کورمک مرتبه چهارم را نشان می‌دهد و البته در این حالت به علت آنکه در میدان حل نایپوستگی وجود ندارد، روش فشرده مرتبه چهارم نیز از دقت خوبی برخوردار است. ذکر این نکته ضروری است که از هیچ گونه پالایه‌ای در حل عددی معادله برگز به کمک روش مک‌کورمک استفاده نشده است و میرایی ذاتی موجود در این روش می‌تواند در حل آن دسته از مسائل

جدول ۳. مقایسه خطای کلی محاسبه شده به کمک نرم ۱ برای روش‌های متفاوت برای معادله برگز ناوشکسان با شرط اولیه چندجمله‌ای درجه اول در زمان $t = 30$ s

روش	گستره‌سازی زمانی	تفکیک (n_g)	خطای کلی
مرتبه دوم مرکزی	بیم و ورمنگ	1601	2.3569×10^{-4}
فسرده مرتبه چهارم	بیم و ورمنگ	1601	5.4642×10^{-5}
مرتبه دوم مرکزی	لکس وندروف	1601	2.0681×10^{-4}
فسرده مرتبه چهارم	لکس وندروف	1601	1.0831×10^{-4}
مرتبه دوم مرکزی	لیپ فراگ	1601	2.1832×10^{-4}
فسرده مرتبه چهارم	لیپ فراگ	1601	1.1453×10^{-4}
مرتبه دوم	مک‌کورمک	1601	2.0715×10^{-4}
فسرده مرتبه چهارم	مک‌کورمک	1601	8.2419×10^{-5}

جدول ۴. زمان CPU برای محاسبات بر حسب ثانیه برای روش‌های متفاوت و برای معادله برگز ناوشکسان با شرط اولیه چندجمله‌ای درجه اول برای یک تحولزمانی به مدت $t = 30$ s

روش	گسسته‌سازی زمانی	تفکیک (n_g)	زمان (ثانیه)
مرتبه دوم مرکزی	بیم و ورمینگ	1601	8.1.09
فسرده مرتبه چهارم	بیم و ورمینگ	1601	102.484
مرتبه دوم مرکزی	لکس وندروف	1601	7.406
فسرده مرتبه چهارم	لکس وندروف	1601	56.172
مرتبه دوم مرکزی	لیپ فراگ	1601	4.531
فسرده مرتبه چهارم	لیپ فراگ	1601	28.281
مرتبه دوم	مک‌کورمک	1601	6.407
فسرده مرتبه چهارم	مک‌کورمک	1601	9.359

با توابع زیر بیان می‌شوند (کوو و پولوانی، ۱۹۹۷):

$$\begin{aligned} u(x, t=0) &= 0, \quad v(x, t=0) = 0 \\ h(x, t=0) &= \begin{cases} H + \eta_0 & x < 0 \\ H - \eta_0 & x > 0 \end{cases} \end{aligned} \quad (12)$$

که در آن H ارتفاع میانگین لایه در زمان $t=0$ است، η_0 انحراف از این میانگین است. به دلیل اینکه شرایط اولیه مستقل از y است، در معادلات حاکم (u, v, h) مستقل از y برای همه زمان‌ها یعنی $t > 0$ درنظر گرفته می‌شوند. برای اینکه در ک بهتری از ماهیت خطی و غیرخطی بودن معادله حاکم و گذر بین این دو حالت که وابسته به شرط اولیه است، حاصل شود، معادلات حاکم با استفاده از کمیت‌های زیر بی‌بعد می‌شوند:

$$\begin{aligned} \eta &= \eta_0 \eta', \\ u &= \frac{\eta_0}{H} \sqrt{gH} u', \\ v &= \frac{\eta_0}{H} \sqrt{gH} v', \\ x &= Lx', \\ t &= \left(\frac{L}{\sqrt{gH}}\right) t' \end{aligned} \quad (13)$$

با چنین کاری، معادلات (۱۱) بعد از حذف علامت

۴ مسئله تنظیم راسبی غیرخطی در یک بعد

حال با توجه به تجربه‌ای که از آزمایش‌های عددی با معادلات مدل به دست آمده، به حل مسئله تنظیم راسبی غیرخطی و ناپایایی یک بعدی همراه با ناپیوستگی در میدان حل پرداخته می‌شود. معادلاتی که برای بررسی نظری پدیده تنظیم راسبی مورد استفاده قرار می‌گیرند به صورت زیر هستند (کوو و پولوانی، ۱۹۹۷):

$$\begin{aligned} \frac{\partial u}{\partial t} + u \frac{\partial u}{\partial x} + g \frac{\partial h}{\partial x} - fv &= 0 \\ \frac{\partial v}{\partial t} + u \frac{\partial v}{\partial x} + fu &= 0 \\ \frac{\partial h}{\partial t} + \frac{\partial hu}{\partial x} &= 0 \end{aligned} \quad (11)$$

در معادلات بالا u و v به ترتیب نشان‌دهنده مولفه‌های سرعت در دو راستای x و y هستند. t بیان‌کننده زمان، h عمق شاره، $f = 2\Omega$ پارامتر کوئیولیس است که در آن Ω سرعت زاویه‌ای شاره چرخان و g نیز شتاب گرانی (جادبه) است. شرایط اولیه‌ای که برای بررسی درنظر گرفته می‌شود، یک ناپیوستگی در میدان ارتفاع شاره در حال سکون است، که

که مکان بی بعد شده آن در بازه $15 \leq x \leq 15$ - فرار دارد. مسئله در چهار حالت خطی و غیرچرخان، غیرخطی و غیرچرخان، خطی و چرخان و در نهایت غیرخطی و چرخان مورد بررسی قرار می‌گیرد. در حالتی که شاره چرخان است پارامتر ϵ برابر با صفر درنظر گرفته غیرچرخان است پارامتر ϵ برابر با صفر درنظر گرفته می‌شود. در این حالت با انتخاب مقدار α برابر با عددی بسیار نزدیک به صفر مسئله تبدیل به حالت خطی، غیرچرخان می‌شود. نتایج حل عددی مربوط به این حالت در شکل ۲(الف) آورده شده است. در مرحله بعدی مقدار $\alpha = 0.3$ قرار داده می‌شود و با این انتخاب مسئله به حالت غیرخطی و غیرچرخان تبدیل می‌شود. شکل ۲(ب) نتایج مربوط به این حالت را نشان می‌دهد. در مرحله بعد $\epsilon = 1$ و α مقداری نزدیک به صفر درنظر گرفته می‌شود. دو انتخاب موردنظر، مسئله را به حالت خطی و چرخان تبدیل می‌کند. نتایج حل عددی برای این حالت در شکل ۲(پ) آورده شده است. در آخرین انتخاب $\epsilon = 1$ و $\alpha = 0.3$ درنظر گرفته می‌شوند که این انتخاب مسئله را به حالت غیرخطی و چرخان تبدیل می‌کند. شکل ۲(ت) مربوط به این حالت است. با توجه به اینکه معادلات مسئله تنظیم راسبی فاقد حل تحلیلی هستند، برای مقایسه نتایج کوو و پولوانی (۱۹۹۷) برای این حالت‌ها در شکل ۳ نمایش داده شده است. مقایسه کیفی صحت و دقت مناسب جواب‌های به دست آمده توسط روش فشرده مک‌کورمک مرتبه چهارم را نشان می‌دهد. مشاهده می‌شود که در همه حالت‌ها ناپیوستگی موجود در میدان حل به خوبی با روش فشرده مک‌کورمک مرتبه چهارم شبیه‌سازی شده است.

در تحقیقات بعدی اثر غیرخطی که با پارامتر α کنترل می‌شود، مورد بررسی قرار می‌گیرد. در این بررسی مقدار ϵ در همه آزمایش‌های عددی برابر با یک درنظر گرفته شده است و برای بررسی اثر پارامتر کنترل کننده میزان غیرخطی بودن مسئله از مقادیر $\alpha = 0.1$ ، $\alpha = 0.4$ و $\alpha = 0.4$

پرایم از متغیرها، تبدیل به روابط زیر می‌شوند:

$$\begin{aligned} \frac{\partial u}{\partial t} + \alpha \left(u \frac{\partial u}{\partial x} \right) + \frac{\partial \eta}{\partial x} - \varepsilon v &= 0 \\ \frac{\partial v}{\partial t} + \alpha \left(u \frac{\partial v}{\partial x} \right) + \varepsilon u &= 0 \\ \frac{\partial \eta}{\partial t} + \frac{\partial u}{\partial x} + \alpha \frac{\partial(\eta u)}{\partial x} &= 0 \end{aligned} \quad (14)$$

در این معادلات پارامترهای بی بعد مورد استفاده به صورت زیر هستند:

$$\alpha = \frac{\eta_0}{H}, \quad \varepsilon = \frac{fL}{\sqrt{gH}} = \frac{L}{\sqrt{gH/f}} = \frac{L}{L_D} = Bu^{-1/2} \quad (15)$$

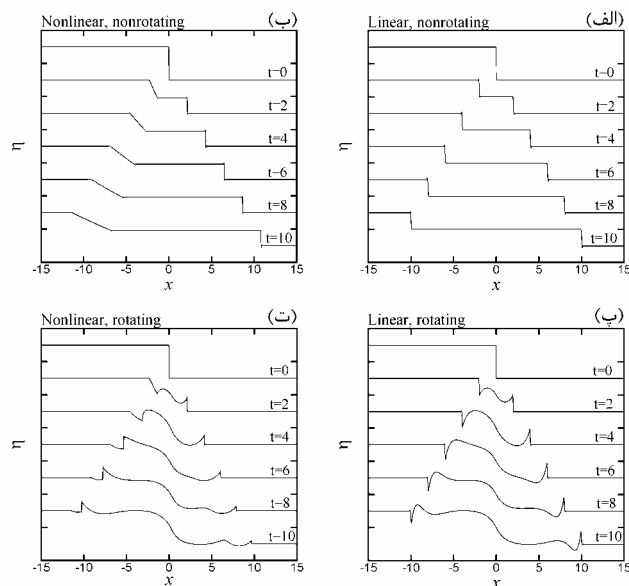
از دو پارامتری که در بالا تعریف شد، اولی یعنی α ماهیت خطی و غیرخطی بودن و دومی یعنی ϵ اثر چرخان بودن شاره را در مسئله کنترل می‌کند. در رابطه بالا عدد بی بعد Bu نشان‌دهنده نسبت شعاع تغییر شکل راسبی (L_D) به مقیاس طول افقی مشخصه شارش شاره چرخان است. محدوده تغییرات α بین صفر و یک درنظر گرفته می‌شود و همچنین مقادیر صفر و یا یک برای ϵ انتخاب می‌شود که مقدار صفر معادل با حالت ناچرخان و مقدار یک معادل با حالت چرخان سامانه است. در معادله (۱۴) اگر α به سمت صفر میل کند مسئله، ماهیت خود را به حالت کاملاً خطی تغییر می‌دهد و همچنین اگر مقدار یک برای α انتخاب شود فیزیک مسئله به حالت غیرخطی تغییر پیدا می‌کند. برای حل عددی مسئله، با استفاده از روش فشرده مک‌کورمک مرتبه چهارم، می‌باید معادلات (۱۱) را در شکل پایستار مورد استفاده قرار داد.

۴-۱ نتایج حل عددی

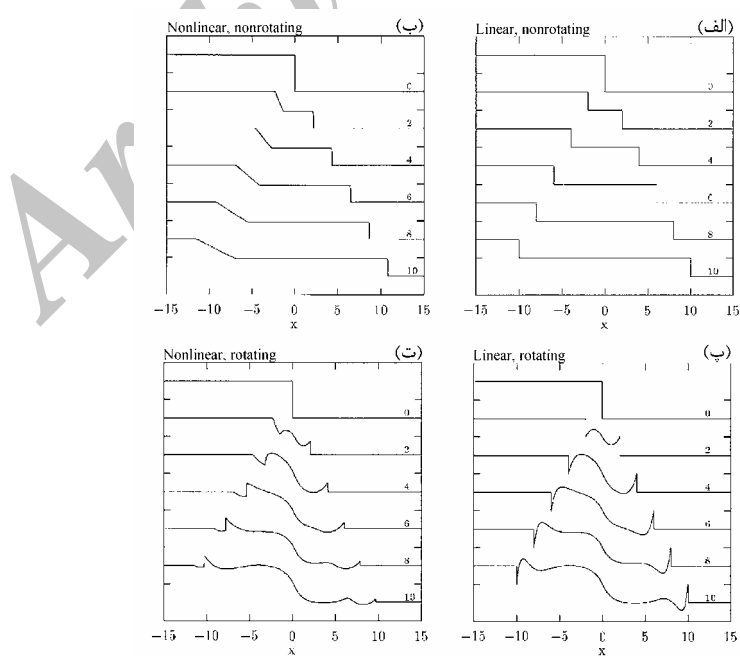
شبکه انتخاب شده برای حل عددی مسئله پیش‌گفته شبکه‌ای یکنواخت با تفکیک مناسب $n_g = 1601$ است

تحول زمانی میدان ارتفاع را برای سه مقدار متفاوت α نشان می‌دهد. شکل ۵ نیز جواب کوو و پولوانی (۱۹۹۷) را نشان می‌دهد. در این حالت نیز علی‌رغم استفاده از پالایه، مقایسه کیفی، نشان از دقت مناسب جواب‌های به دست آمده دارد.

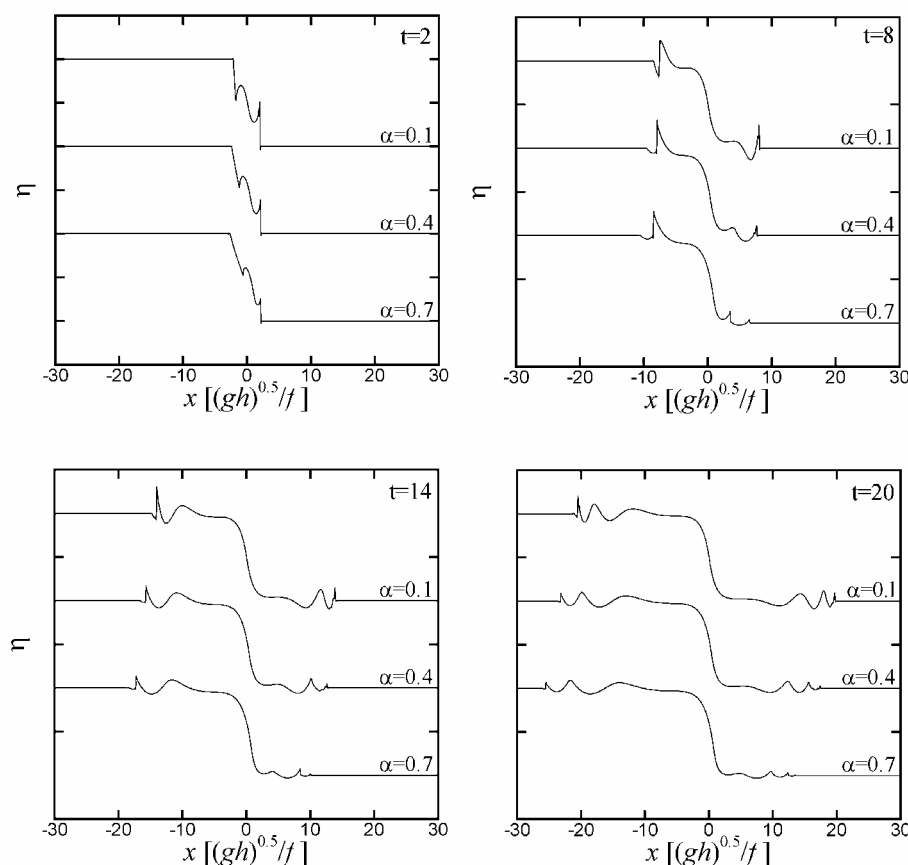
$\alpha = 0.7$ استفاده شده است. با افزایش α اندرکنش‌های غیرخطی در معادلات افزایش می‌یابند. هنگام استفاده از $\alpha = 0.7$ و یا مقادیر بزرگ‌تر برای کنترل اندرکنش‌های غیرخطی و جلوگیری از ناپایداری حل عددی از یک پالایه فشرده مکانی مرتبه ششم استفاده شده است. شکل ۴



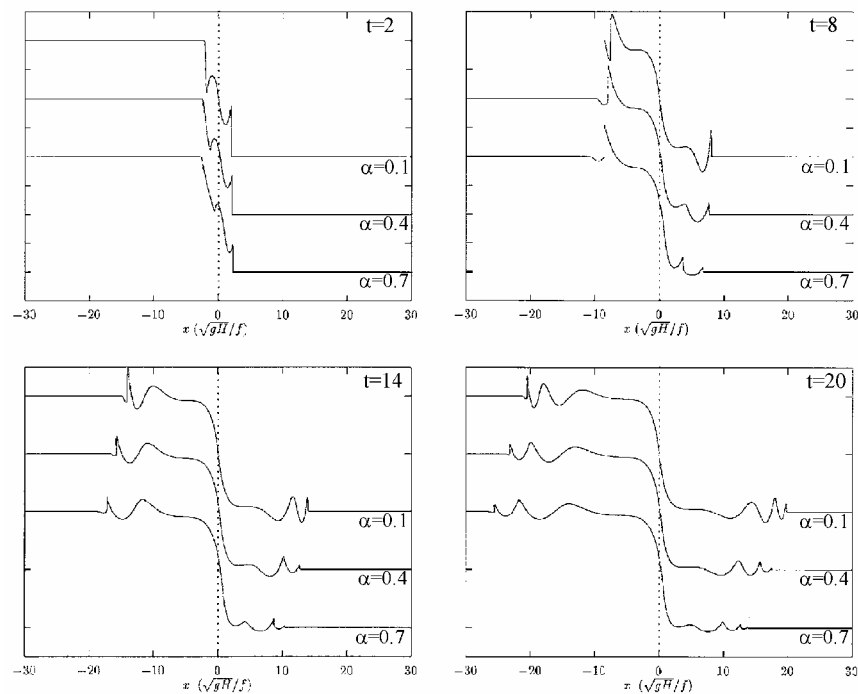
شکل ۲. میدان ارتفاع مسئله تنظیم راسی مکانی فشرده مکورمک مرتبه چهارم برحسب مکان برای زمان‌های متفاوت (الف) حالت خطی و غیرچرخان (ب) حالت غیرخطی و غیرچرخان (پ) حالت خطی و چرخان (ت) حالت غیرخطی و چرخان.



شکل ۳. نتایج عرضه شده کوو و پولوانی (۱۹۹۷)، برای میدان ارتفاع مسئله تنظیم راسی حالت‌ها مشابه شکل ۲ است.



شکل ۴. میدان ارتفاع مسئله تنظیم راسیی یک بعدی حاصل از روش فشرده مک کورمک مرتبه چهارم در زمان های متفاوت به ازای α های متفاوت.



شکل ۵: نتایج عرضه شده کوو و پولوانی (۱۹۹۷) برای α های متفاوت.

میدان ارتفاع یک شاره در حال سکون درنظر گرفته می‌شود. شرایط اولیه یاد شده، با توابع زیر بیان می‌شوند:

$$\begin{aligned} u(x, y, t=0) &= 0 \\ v(x, y, t=0) &= 0 \\ h(x, y, t=0) &= \begin{cases} D & y < 0 \\ \frac{D}{2} & y > 0 \end{cases} \quad (17) \end{aligned}$$

در این قسمت برای اینکه در ک بهتری از مسئله تنظیم راسی غیرخطی در یک کanal چرخان حاصل شود، رابطه (۱۶) با کمیت‌های زیر بی‌بعد می‌شوند:

$$\begin{aligned} d &= \frac{h}{D}, \quad x' = \frac{x}{\sqrt{gD}}, \quad y' = \frac{y}{L}, \quad t' = \frac{t}{\sqrt{gD}}, \\ u' &= \frac{u}{\delta \sqrt{gD}}, \quad v' = \frac{v}{\sqrt{gD}} \quad (18) \end{aligned}$$

که در رابطه بالا پارامتر بی‌بعد δ برابر با عبارت زیر است:

$$\delta = \frac{\sqrt{gD}}{fL} = Bu^{1/2} \quad (19)$$

پارامتر δ در واقع از دیدگاه فیزیکی نسبت شعاع تغییر شکل راسی (Rossby radius of deformation) به مقیاس طول L در راستای محور y است. با جای‌گذاری کمیت‌های بی‌بعد ذکر شده در بالا در رابطه (۱۶) و بعد از حذف علامت پرایم از کمیت‌های بی‌بعد، رابطه به شکل زیر بازنویسی می‌شود:

$$\begin{aligned} \delta^2 \left(\frac{\partial u}{\partial t} + u \frac{\partial u}{\partial x} + v \frac{\partial u}{\partial y} \right) - v &= - \frac{\partial d}{\partial x} \\ \frac{\partial v}{\partial t} + u \frac{\partial v}{\partial x} + v \frac{\partial v}{\partial y} + u &= - \frac{\partial d}{\partial y} \quad (20) \\ \frac{\partial d}{\partial t} + u \frac{\partial d}{\partial x} + v \frac{\partial d}{\partial y} + d \frac{\partial u}{\partial x} + d \frac{\partial v}{\partial y} &= 0 \end{aligned}$$

در ادامه همچنین رابطه (۱۷) و یا به عبارت دیگر شرایط اولیه حاکم بر مسئله در شکل بی‌بعد خود به صورت زیر نوشته می‌شود:

۵ مسئله تنظیم راسی غیرخطی دو بعدی در یک کanal چرخان

در بخش قبل حل عددی مسئله تنظیم راسی غیرخطی در یک بعد مورد بررسی قرار گرفت. با توجه به عملکرد خوب روش مک‌کورمک فشرده مرتبه چهارم در حل عددی مسئله تنظیم راسی بی‌بعدی، در اینجا این مسئله به دو بعد تعمیم داده می‌شود و عملکرد روش در این حالت نیز با نتایج کار سایر محققان مقایسه می‌شود. معادلات انتخاب شده برای مسئله تنظیم راسی دو بعدی به صورت زیر هستند (هلفریش و همکاران، ۱۹۹۹):

$$\begin{aligned} \frac{\partial u}{\partial t} + u \frac{\partial u}{\partial x} + v \frac{\partial u}{\partial y} - fv + g \frac{\partial h}{\partial x} &= 0 \\ \frac{\partial v}{\partial t} + u \frac{\partial v}{\partial x} + v \frac{\partial v}{\partial y} + fu + g \frac{\partial h}{\partial y} &= 0 \quad (16) \\ \frac{\partial h}{\partial t} + u \frac{\partial h}{\partial x} + v \frac{\partial h}{\partial y} + h \frac{\partial u}{\partial x} + h \frac{\partial v}{\partial y} &= 0 \end{aligned}$$

روابط عرضه شده در معادله (۱۶) معادلات آب کم عمق دو بعدی هستند که برای بررسی عددی و تحلیل فیزیکی پدیده تنظیم راسی در دو بعد از سوی هلفریش و همکاران (۱۹۹۹) درنظر گرفته شده‌اند. رابطه (۱۶) به ترتیب از معادله تکانه در راستای محور x ، معادله تکانه در راستای محور y و معادله پیوستگی تشکیل شده است. مدلی که در این تحقیق استفاده شده است عبارت از یک شاره تراکم‌ناپذیر، همگن و ناوچکسان است که در یک کanal چرخان با سطح مقطع مستطیلی محدود می‌شود. سطح زیرین این کanal مستطیح و سطح بالای آن آزاد است و تنها دیواره‌های این کanal چرخان در راستای محور x در مسئله تنظیم راسی غیرخطی سخت درنظر گرفته می‌شود که باعث می‌شود که سرعت عمود بر آن دیواره‌ها یعنی u همواره صفر درنظر گرفته شود. شرایط اولیه انتخاب شده برای مسئله تنظیم راسی غیرخطی در کanal چرخان همانند شرایط اولیه انتخاب شده برای مسئله تنظیم راسی بی‌بعدی به صورت یک ناپیوستگی در

$$\mathbf{U}_{i,j}^{n+1} = \frac{1}{2} \left[\mathbf{U}_{i,j}^n + \mathbf{U}_{i,j}^* - \Delta t \left. \frac{\partial \mathbf{E}^*}{\partial x} \right|_{i,j}^B - \Delta t \left. \frac{\partial \mathbf{F}^*}{\partial y} \right|_{i,j}^F + \Delta t \mathbf{R}_{i,j}^* \right] \quad (25)$$

همان‌گونه که در رابطه (۲۴) مربوط به مرحله پیش‌گو

روش مک‌کورمک مشاهده می‌شود، برای برآورد مشتق مرتبه اول متغیرهای برداری \mathbf{E} و \mathbf{F} به ترتیب از عملگرهای پیش‌رو و پس‌رو استفاده شده است و در مقابل برخلاف مرحله پیش‌گو در مرحله مصحح برای برآورد مشتق متغیرهای برداری \mathbf{E}^* و \mathbf{F}^* به ترتیب از عملگرهای پیش‌رو و پس‌رو استفاده شده است. چنین ترکیب جایگشتی از عملگرها که بدان اشاره شد، با نماد FB/BF نام‌گذاری می‌شوند. در عمل بهتر است که در هنگام حل عددی علاوه بر جایگشت FB/BF از جایگشت‌های BB/FF ، FF/BB و BB/FF برای گام‌های زمانی متوالی استفاده شود که این نکته در هنگام حل عددی معادلات حاکم بر تنظیم راسی غیرخطی دوبعدی در تحقیق حاضر رعایت شده است (فلاحت ۱۳۸۷).

با توجه به اینکه در هنگام انتگرال‌گیری شکل اویلری معادلات حاکم بر شاره ناپایداری غیرخطی به دلیل خطای دگرگردیدن ناشی از اندرکنش‌های غیرخطی به وجود آمده می‌آید، می‌بایست این ناپایداری غیرخطی به وجود آمده با استفاده یک ابزار مناسب عددی کنترل شود. یکی از این ابزارها، استفاده از پالایه است که در حل عددی مسئله تنظیم راسی غیرخطی یک‌بعدی به آن اشاره شد. یکی از روش‌های مناسب دیگر استفاده از اتلاف مصنوعی است که در تحقیق حاضر برای جلوگیری از ناپایداری غیرخطی در حل عددی مسئله تنظیم راسی غیرخطی دوبعدی از آن استفاده شده است.

اگرچه طرح‌واره مک‌کورمک دارای یک میرایی ذاتی است و این میرایی می‌تواند بخشی از اندرکنش‌های

$$\begin{aligned} u(x, y, t=0) &= 0 \\ v(x, y, t=0) &= 0 \\ d(x, y, t=0) &= \begin{cases} 1 & y < 0 \\ \frac{1}{2} & y > 0 \end{cases} \end{aligned} \quad (21)$$

در تحقیق حاضر مشابه با کار هلفریش و همکاران (۱۹۹۹)، برای حل عددی رابطه (۲۰) با شرایط اولیه موجود در رابطه (۲۱) پارامتر δ برابر با مقدار ۱ درنظر گرفته شده است. برای حل عددی رابطه بالا به کمک روش مک‌کورمک فشرده مرتبه چهارم، می‌بایست از شکل پایستار معادله (۲۰) استفاده کرد. شکل پایستار معادلات پیش‌گفته را می‌توان به صورت برداری زیر نوشت:

$$\frac{\partial \mathbf{U}}{\partial t} + \frac{\partial \mathbf{E}}{\partial x} + \frac{\partial \mathbf{F}}{\partial y} = \mathbf{R} \quad (22)$$

که در آن بردارهای \mathbf{U} ، \mathbf{E} ، \mathbf{F} و \mathbf{R} برابر با عبارات زیرند:

$$\begin{aligned} \mathbf{U} &= (ud, vd, d)^T, \\ \mathbf{E} &= (u^2 d + \frac{1}{2} d^2, uvd, ud)^T \\ \mathbf{F} &= (uvd, v^2 d + \frac{1}{2} d^2, vd)^T, \\ \mathbf{R} &= (vd, -ud, 0)^T \end{aligned} \quad (23)$$

که در رابطه بالا T معرف ترانهاده یک ماتریس است. اگر از روش مک‌کورمک برای حل عددی رابطه (۲۲) استفاده شود، شکل گسته رابطه فوق از دو مرحله پیش‌گو و مصحح به صورت زیر تشکیل خواهد شد:

مرحله پیش‌گو:

$$\mathbf{U}_{i,j}^* = \mathbf{U}_{i,j}^n - \Delta t \left. \frac{\partial \mathbf{E}^n}{\partial x} \right|_{i,j}^F - \Delta t \left. \frac{\partial \mathbf{F}^n}{\partial y} \right|_{i,j}^B + \Delta t \mathbf{R}_{i,j}^n \quad (24)$$

مرحله مصحح:

غیرخطی را کنترل کند، با وجود این با توجه به پیچیدگی میدان شاره در تنظیم راسبی دو بعدی استفاده از عبارات اتلافی برای جلوگیری از ناپایداری غیرخطی لازم و ضروری است. جمله اتلافی که در تحقیق حاضر برای حل عددی مسئله تنظیم راسبی غیرخطی دو بعدی با استفاده از روش مک کورمک به کار گرفته شده است، با متغیر برداری زیر نمایش داده می شود:

$$u\left(\frac{w}{2}, y, t=0\right)=0, \quad u\left(-\frac{w}{2}, y, t=0\right)=0 \quad (27)$$

به دلیل اینکه در تحقیق حاضر از قید ناوشکسان در حل معادلات حاکم استفاده می شود، لازم است که شرط لغزش آزاد (Free slip) برای مولفه افقی سرعت در راستای محور y یعنی v در مرزهای سمت چپ و سمت راست محور x درنظر گرفته شود. شرط لغزش آزاد در دو مرز یاد شده با روابط زیر بیان می شود:

$$\left.\frac{\partial v}{\partial x}\right|_{(x=-w/2)}=0, \quad \left.\frac{\partial v}{\partial x}\right|_{(x=w/2)}=0 \quad (28)$$

در راستای محور y نیز از شرط مرزی گرادیان شار صفر (Zero flux gradient) استفاده شده است که این شرط برای مرز بالا ($j=N$) و مرز پایین ($j=1$) در

راستای محور y با روابط زیر بیان می شود:

$$\left.\frac{\partial \mathbf{F}}{\partial y}\right|_{y=L/2}^F=0, \quad \left.\frac{\partial \mathbf{F}}{\partial y}\right|_{y=-L/2}^B=0 \quad (29)$$

در حالتی که طول کanal برابر با مقدار $w=0.5$ است، از یک تفکیک مناسب 5001×51 در حل عددی استفاده شده است. تفکیک متناظر با یک شبکه یکتواخت در دو راستای محور x و y است و فواصل شبکه‌ای در چین حالتی در راستای محورهای مختصات، هر دو برابر با مقدار 0.01 است. گام زمانی انتخاب شده در این حالت با توجه شرط پایداری خطی که در بخش پیوست مطالب مربوط به آن آمده است، برابر با مقدار $\Delta t = 0.001$ است. برای کنترل ناپایداری غیرخطی ناشی از اندرکنش‌های غیرخطی پارامتر ۷ در رابطه (۲۶) برابر با مقدار 0.005 درنظر گرفته شده است.

غیرخطی را کنترل کند، با وجود این با توجه به پیچیدگی میدان شاره در تنظیم راسبی دو بعدی استفاده از عبارات اتلافی برای جلوگیری از ناپایداری غیرخطی لازم و ضروری است. جمله اتلافی که در تحقیق حاضر برای حل عددی مسئله تنظیم راسبی غیرخطی دو بعدی با استفاده از روش مک کورمک به کار گرفته شده است، با متغیر برداری زیر نمایش داده می شود:

$$\mathbf{D}=(\nu \nabla \cdot d \nabla u, \nu \nabla \cdot d \nabla v, 0)^T \quad (26)$$

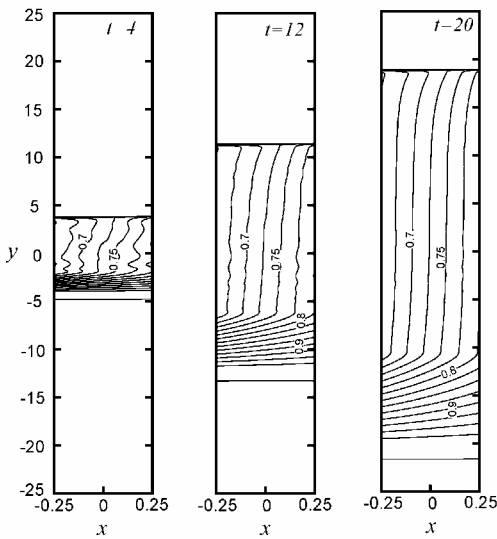
که در آن ۷ پارامتری است که با آزمایش عددی به دست می آید و همچنین مقدار آن به تفکیک انتخاب شده در حل عددی نیز بستگی دارد. در حل عددی مسئله تنظیم زمین گرد غیرخطی با استفاده از روش مک کورمک، متغیر برداری \mathbf{D} به سمت راست رابطه (۲۶) اضافه می شود. برای محاسبه عملگرهای ∇ و $\nabla \cdot$ در رابطه (۲۶) می توان از عملگرهای پیش رو و پس رو استفاده کرد.

۱-۵ نتایج حل عددی

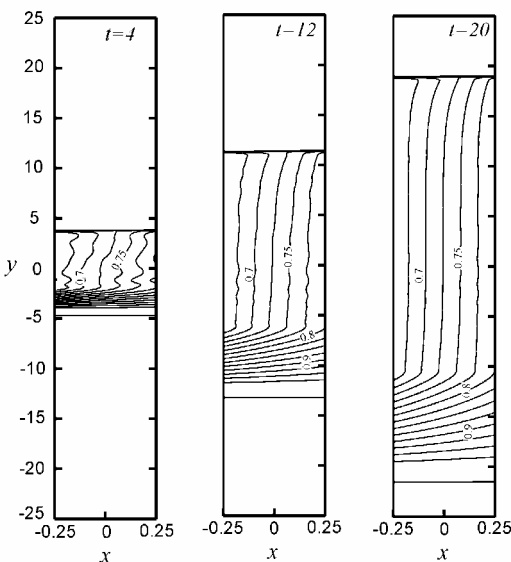
در این قسمت نتایج عددی مربوط به حل عددی مسئله تنظیم راسبی غیرخطی در دو بعد با استفاده از روش‌های مک کورمک مرتبه دوم و فشرده مرتبه چهارم آورده می شود. هندسه مسئله، یک ناحیه مستطیلی شکل با عرض $w=50$ در راستای محور y و طول بی بعد $L=50$ در راستای محور x است. مکان بی بعد شده این ناحیه در راستای محور y در بازه $-L/2 \leq y \leq L/2$ است و مکان بی بعد شده ناحیه است در راستای محور x در بازه $-\frac{w}{2} \leq x \leq \frac{w}{2}$ قرار دارد. در تحقیق حاضر برای حل عددی مسئله تنظیم راسبی غیرخطی در ناحیه مستطیل شکلی که به آن اشاره شد، از سه طول متفاوت با ثابت نگه داشتن عرض ناحیه مستطیلی استفاده شده است. سه طول انتخاب شده به ترتیب دارای مقادیر از کم به زیاد

تنظیم راسی در دو بعد فاقد حل تحلیلی‌اند، برای مقایسه کیفی جواب‌ها، نتایج هلفریش و همکاران (۱۹۹۹) در شکل ۸ نشان داده شده است. این مقایسه کیفی نشان از صحت جواب‌های به دست آمده با روش‌های مک‌کورمک مرتبه دوم و فشرده مرتبه چهارم دارد. نکته قابل توجه دیگر قدرت زیاد روش‌های مک‌کورمک مرتبه دوم و فشرده مرتبه چهارم در شبیه‌سازی میدان‌های شارش با ناپیوستگی است.

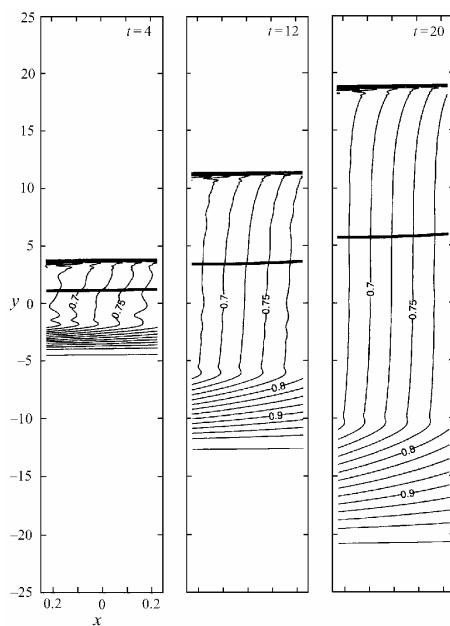
شکل‌های ۶ و ۷ به ترتیب مربوط به حل عددی مسئله تنظیم راسی غیرخطی با استفاده از روش مک‌کورمک مرتبه دوم و فشرده مرتبه چهارم در یک کانال چرخان با طول $w = 0.5$ است. در این دو شکل، میدان ارتفاع در سه زمان بی‌بعد $t = 4$ ، $t = 12$ و $t = 20$ نشان داده شده است. همان‌گونه که از این دو شکل پیدا است نتایج دو روش مک‌کورمک مرتبه دوم و فشرده مرتبه چهارم نزدیک به یکدیگر است. با توجه به اینکه معادلات مسئله



شکل ۶. میدان ارتفاع مسئله تنظیم راسی غیرخطی دو بعدی در یک کانال چرخان با طول $w = 0.5$ در سه زمان متفاوت که از روش مک‌کورمک مرتبه دوم در شبیه‌سازی آن استفاده شده است. پربندی‌های همارتفاع در بازه $[0, 1]$ قرار دارند و اختلاف بین دوپریند متواالی برابر با ۰.۰۲۵ است.



شکل ۷. مانند شکل ۶ با این تفاوت که از روش مک‌کورمک فشرده مرتبه چهارم در حل عددی استفاده شده است.



شکل ۸ نتایج هلفریش و همکاران (۱۹۹۹) برای حل عددی مسئله تنظیم راسی غیرخطی در یک کانال چرخان با طول $w = 0.5$.

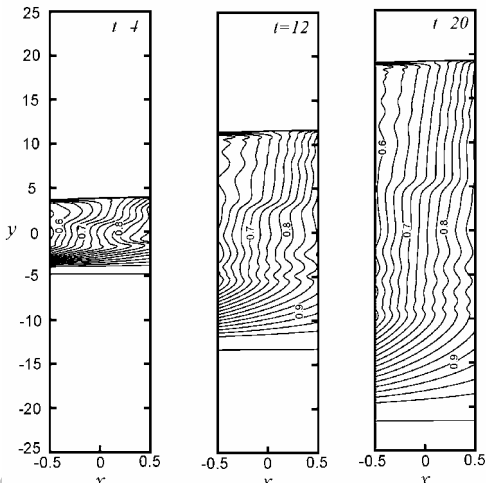
با روش‌های مک‌کورمک مرتبه دوم و فشرده مرتبه چهارم بتوان باخبر شد، نتایج عرضه شده با هلفریش و همکاران (۱۹۹۹) در شکل ۱۱ به نمایش گذاشته شده‌اند که این شکل نشان‌دهنده صحت جواب‌های به‌دست آمده با روش‌های مک‌کورمک مرتبه دوم و فشرده مرتبه چهارم است. در ادامه شکل ۱۲ یک نمای سه‌بعدی از تکامل زمانی مسئله تنظیم زمین‌گرد غیرخطی در یک کانال با طول $w = 1$ را نشان می‌دهد که از روش مک‌کورمک فشرده مرتبه چهارم در شیوه‌سازی آن استفاده شده است. آخرین طول انتخاب شده برای کانال چرخان در مسئله تنظیم راسی غیرخطی $w = 4$ است. تفکیک انتخاب شده در این حالت تفکیک 2501×201 است که این تفکیک متناظر با فاصله شبکه‌ای 0.02 در هر دو راستای محور مختصات است. برای حل عددی مسئله تنظیم راسی غیرخطی در این حالت از گام زمانی $\Delta t = 0.001$ استفاده شده و پارامتر 7 برای کنترل ناپایداری در این حالت برابر با مقدار 0.005 است. در شکل ۱۳ نتایج مربوط به میدان گرفته شده است.

در ادامه، حل عددی مسئله تنظیم راسی غیرخطی در کانالی با طول $w = 1$ درنظر گرفته می‌شود. تفکیک انتخاب شده در این حالت برابر با 5001×101 است که متناظر با فواصل شبکه‌ای 0.01 در راستای هر دو محور مختصات است. در این حالت گام زمانی انتخاب شده برابر با مقدار $\Delta t = 0.001$ است. پارامتر 7 نیز در این حالت برای جلوگیری از ناپایداری غیرخطی برابر با مقدار 0.005 است. در شکل ۹ میدان ارتفاع در زمان‌های $t = 4, 12$ و $t = 20$ نشان داده شده است که این میدان از حل عددی مسئله تنظیم راسی با استفاده از روش مک‌کورمک مرتبه دوم حاصل شده است. بهمین ترتیب در شکل ۱۰ نتایج حل عددی مسئله تنظیم راسی غیرخطی با استفاده از روش مک‌کورمک فشرده مرتبه چهارم برای میدان ارتفاع در سه زمان $t = 4, 12$ و $t = 20$ نشان داده شده است. همان‌گونه که از این دو شکل پیدا است، نتایج دو روش مک‌کورمک مرتبه دوم و فشرده مرتبه چهارم شیوه هم است. در این قسمت نیز برای اینکه از صحت جواب‌های به‌دست آمده

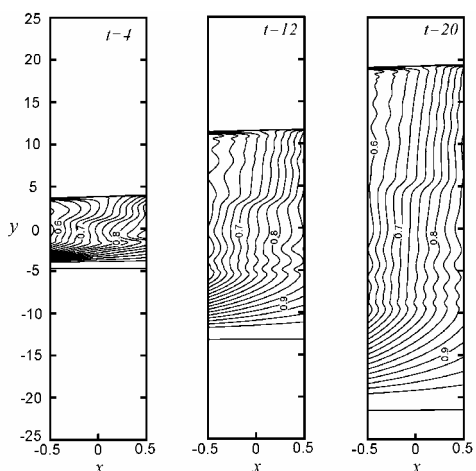
عددی روش‌های مک‌کورمک مرتبه دوم و فشرده مرتبه چهارم را تایید می‌کند.

به علاوه بر اساس نتایج به دست آمده با افزایش W به مقادیر بیشتر از شعاع تغییر شکل راسبی مسئله (مانند $W = 4$) جریان در حین تنظیم روی دیواره‌ها به صورت دو موج کلوین (مرزی) روی دیوارهای چپ و راست حرکت می‌کند و در مراحل اول تنظیم نیز نشانه‌هایی از امواج گرانی و گرانی-لختی در آن مشاهده می‌شود (شکل‌های ۱۳ و ۱۴). در مراحل تنظیم نهایی نیز به نظر می‌رسد جریان با شبیه شدن سطح شاره در مرکز کanal شکل گرفته است (زمان $t = 20$ در شکل‌های ۱۳ و ۱۴).

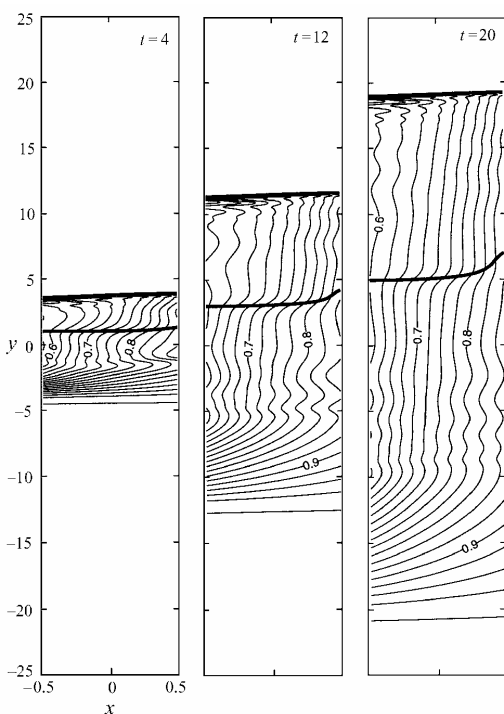
ارتفاع حاصل از حل عددی مسئله تنظیم راسبی غیرخطی با روش مک‌کورمک مرتبه دوم و در زمان‌های متفاوت نشان داده شده است. بهمین ترتیب در شکل ۱۴ نتایج حل عددی مسئله تنظیم راسبی غیرخطی برای میدان ارتفاع در زمان‌های متفاوت با استفاده از روش مک‌کورمک فشرده مرتبه چهارم نشان داده شده است. در این حالت نیز نتایج عددی حاصل از دو روش مک‌کورمک مرتبه دوم و فشرده مرتبه چهارم بسیار نزدیک به یکدیگر است. در شکل ۱۵ نتایج عددی به دست آمده هلفریش و همکاران (۱۹۹۹) برای میدان ارتفاع در سه زمان متفاوت نشان داده شده است. این شکل نیز صحت و مطابقت خوب نتایج



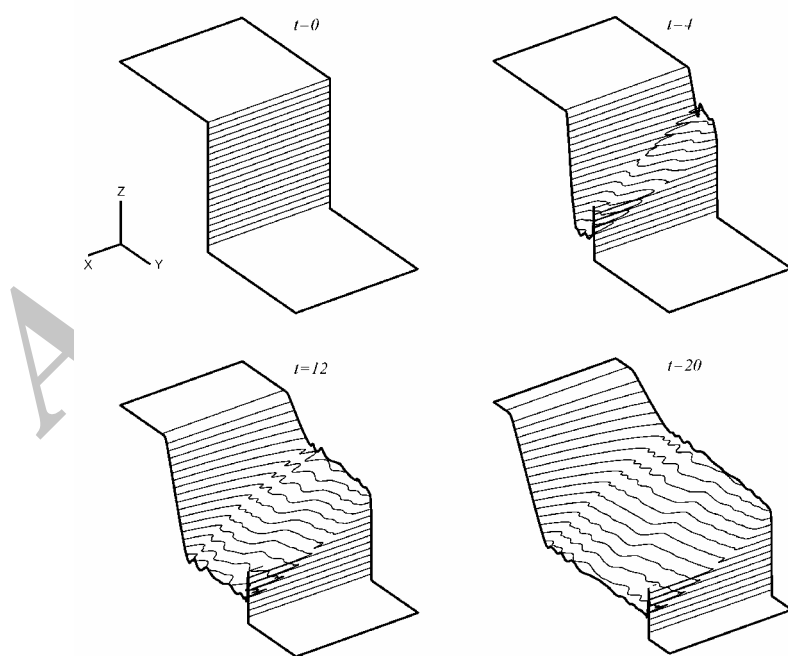
شکل ۹. میدان ارتفاع مسئله تنظیم راسبی غیرخطی دوبعدی در یک کanal چرخان با طول $1 = W$ در سه زمان متفاوت که از روش مک‌کورمک مرتبه دوم در شبیه‌سازی آن استفاده شده است. پریندهای همارتفاع در بازه $[0, 1]$ قراردارند و اختلاف بین دو پریند متواالی برابر با 0.025 است.



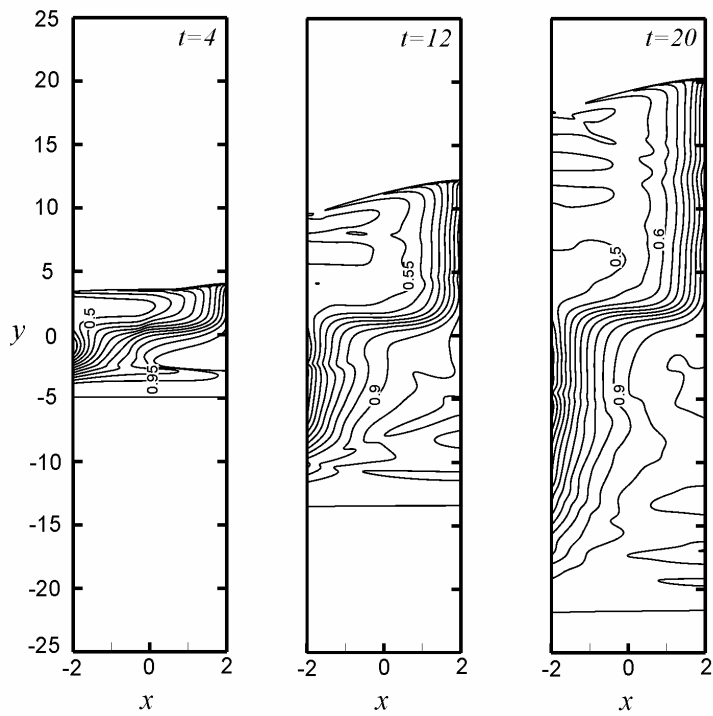
شکل ۱۰. مانند شکل ۹ با این تفاوت که از روش مک‌کورمک فشرده مرتبه چهارم در حل عددی استفاده شده است.



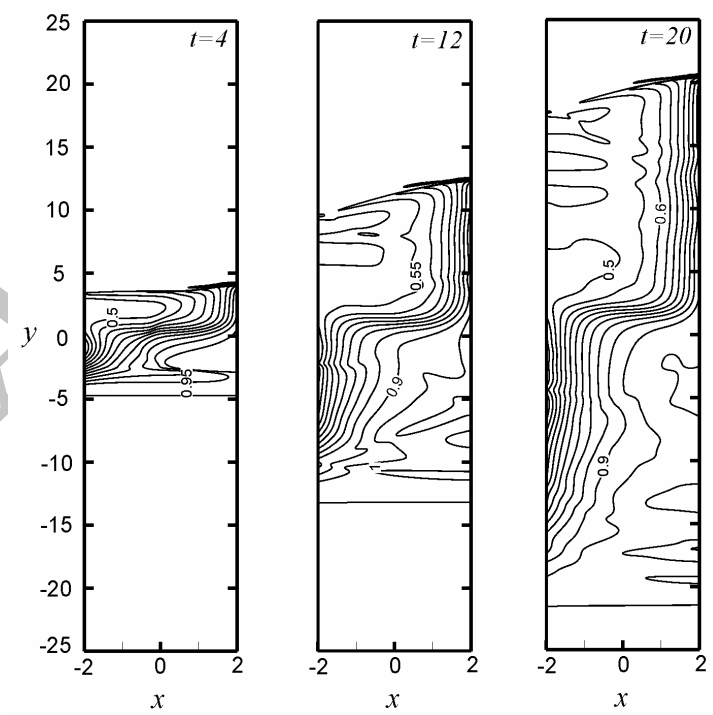
شکل ۱۱. نتایج هلفریش و همکاران (۱۹۹۹) برای حل عددی مسئله تنظیم راسیی غیرخطی دوبعدی در یک کanal چرخان با طول $W = 1$.



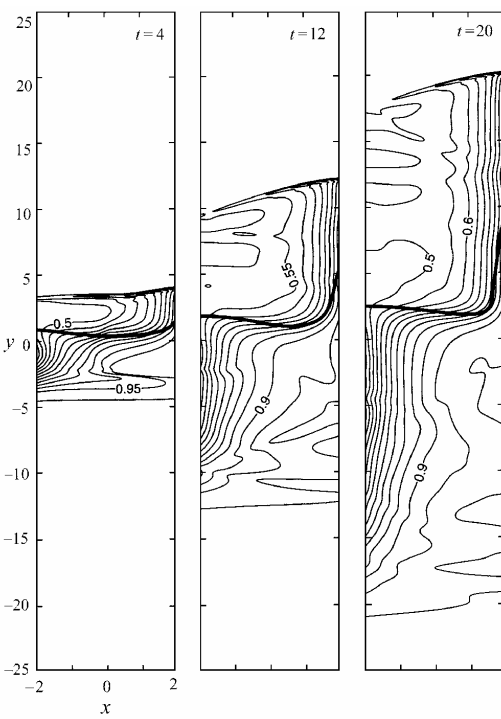
شکل ۱۲. نمای سه بعدی از تحول زمانی میدان ارتفاع مسئله تنظیم راسیی غیرخطی در یک کanal چرخان با طول $W = 1$ که از روش مک کورمک فشرده مرتبه چهارم در شبیه سازی آن استفاده شده است.



شکل ۱۳. میدان ارتفاع مسئله تنظیم راسی غیرخطی در یک کانال چرخان با طول $W = 4$ در سه زمان متفاوت که از روش مک‌کورمک مرتبه دوم در شبیه‌سازی آن استفاده شده است. پریندهای همارتفاع در بازه $[0, 1]$ قراردارند و اختلاف بین دوپریند متواالی برابر با ۰.۰۵ است.



شکل ۱۴. مانند شکل ۱۳ با این تفاوت که از روش مک‌کورمک فشرده مرتبه چهارم در حل عددی استفاده شده است.



شکل ۱۵. نتایج هلفریش و همکاران (۱۹۹۹) برای حل عددی مسئله تنظیم راسی غیرخطی در یک کانال چرخان با طول $w = 4$.

با یک مسئله مدل غیرخطی نشان می‌دهد که میرایی ذاتی این روش می‌تواند بخشی از اندرکنش‌های غیرخطی را میرا کند در حالی که آزمایش مشابه برای روش فشرده مرتبه چهارم بدون استفاده از پالایه عددی امکان‌پذیر نبود. جواب‌های حاصل از حل مسئله تنظیم راسی غیرخطی ناپایا در یک بعد برای ترکیبی از حالت‌های خطی، غیرخطی، چرخشی و غیرچرخشی همراه با ناپیوستگی در میدان حل و مقایسه آنها با نتایج سایر محققان، صحت و عملکرد مطلوب روش فشرده مک‌کورمک مرتبه چهارم را نشان می‌دهد. در نهایت جواب‌های حاصل از حل عددی مسئله تنظیم زمین‌گرد غیرخطی در یک کانال چرخان با طول‌های مختلف با استفاده از روش مک‌کورمک فشرده مرتبه چهارم مطابقت بسیار خوبی از لحاظ کیفی با نتایج کار سایر محققان نشان داد و همچنین نتایج بیانگر این حقیقت است که روش مک‌کورمک از توانمندی زیادی در شبیه‌سازی میدان‌های شارش همراه با ناپیوستگی برخوردار است. بنابراین با توجه به نتایج

۶ نتیجه‌گیری

حل عددی مسئله تنظیم راسی غیرخطی ناپایا در دو حالت یک‌بعدی و دو‌بعدی با شرایط اولیه دارای ناپیوستگی و با به کار گیری روش فشرده مک‌کورمک مرتبه چهارم مورد مورد بررسی قرار گرفت. در واقع این روش امکان عددی را با درگیر کردن تنها دو نقطه و با دقت مرتبه چهارم فراهم می‌کند. بنابراین با توجه به این نکته روش پیش‌گفته توانایی مناسبی برای حل میدان‌های جریان همراه با ناپیوستگی خواهد داشت. بررسی صورت گرفته برای مسائل مدل با حل تحلیلی نشان می‌دهند که هنگام حضور ناپیوستگی در میدان حل روش فشرده مک‌کورمک مرتبه چهارم نسبت به روش‌های تفاضل محدود مرکزی عملکرد بهتری را از خود نشان می‌دهد. البته برای میدان‌های جریان هموار نیز این روش با توجه به ماهیت دونقطه‌ای خود، علاوه بر تأمین دقت زیاد، از لحاظ حجم محاسبات نیز عملکرد بسیار مناسبی دارد. علاوه با توجه به میرایی ذاتی موجود در این روش، آزمایش‌های عددی صورت گرفته

که در رابطه بالا k عدد موج، $i = \sqrt{-1}$ و A یک عدد مختلط است که ضریب بزرگنمایی (Amplification factor) نامیده می‌شود.. اگر از رابطه بالا نسبت به مکان مشتق گرفته شود رابطه زیر به دست می‌آید:

$$\frac{\partial u}{\partial x} = ikA_k^t e^{ikx} = iku \quad (4)$$

با قیاس با روابط تحلیلی بالا، برای مشتق اول تابع u در یک نقطه شبکه مانند $x_j = j\Delta x$ که با روش تفاضل محدود تقریب زده می‌شود و همچنین مقدار تابع در این نقطه روابط زیر درنظر گرفته می‌شود:

$$u_j^n = A_k^{(n\Delta t)} e^{ik(j\Delta x)}, \quad (5)$$

$$\left. \frac{\partial u}{\partial x} \right|_j^n = iK_M u_j^n$$

که در رابطه بالا K_M عدد موج پیراسته است که خود یک تابع مختلط از عدد موج k است. بنابراین عدد موج پیراسته K_M را می‌توان به صورت زیر درنظر گرفت:

$$K_M(k) = K_r(k) + iK_i(k) \quad (6)$$

در ادامه برای تحلیل پایداری روش مک‌کورمک مرتبه چهارم می‌بایست از جای گذاری رابطه (5) در دو رابطه (3) و (4) استفاده کرد. با این کار، دو عدد موج پیراسته K_M^F و K_M^B که به ترتیب عدد موج‌های پیراسته مربوط به عملگرهای پیش رو و پس رو هستند و با روابط زیر بیان می‌شوند، به دست می‌آیند.

$$K_M^B = \frac{1}{i\Delta x} \left[\frac{e^{ikj\Delta x} - e^{ik(j-1)\Delta x}}{ae^{ik(j-1)\Delta x} + (1-a)e^{ikj\Delta x}} \right] \quad (7)$$

$$K_M^F = \frac{1}{i\Delta x} \left[\frac{e^{ik(j+1)\Delta x} - e^{ikj\Delta x}}{ae^{ik(j+1)\Delta x} + (1-a)e^{ikj\Delta x}} \right] \quad (8)$$

در این قسمت با توجه به دو رابطه بالا و همچنین رابطه (5) پس از مجموعه‌ای از عملیات جبری، رابطه (2) به صورت زیر در می‌آید:

به دست آمده می‌توان امیدوار بود که به کارگیری این روش در مدل‌های عددی پیش‌بینی عددی وضع هوا و بهویژه مدل‌های میان مقیاس با اثرات جبهه‌ای شامل گسترشی در میدان شارش، نتایج خوبی به همراه داشته باشد.

پیوست

تحلیل پایداری روش‌های مک‌کورمک مرتبه دوم و مک‌کورمک فشرده مرتبه چهارم

در این پیوست به طور مختصر به تحلیل پایداری روش‌های مک‌کورمک مرتبه دوم و فشرده مرتبه چهارم پرداخته می‌شود. جزئیات بیشتر فلاحت (۱۳۸۷) ارائه کرده است. برای تحلیل پایداری روش مک‌کورمک فشرده مرتبه چهارم معادله فرارفت خطی درنظر گرفته می‌شود:

$$\frac{\partial u}{\partial t} + c \frac{\partial u}{\partial x} = 0 \quad (1)$$

با فرض ثابت بودن c ، شکل گستره رابطه بالا با استفاده از روش مک‌کورمک به صورت زیر است:

$$u_j^* = u_j^n - c\Delta t \left. \frac{\partial u^n}{\partial x} \right|_j^F, \quad (2)$$

$$u_j^{n+1} = \frac{1}{2} (u_j^n + u_j^* - c\Delta t \left. \frac{\partial u^*}{\partial x} \right|_j^B)$$

با توجه به ضمنی بودن عملگرهای پیش رو و پس رو در روش مک‌کورمک فشرده مرتبه چهارم برای تحلیل پایداری رابطه (1) می‌بایست از مفهوم عدد موج پیراسته (Modified wave number) استفاده شود (هیکسون و ترکل، ۲۰۰۰). برای جواب یک معادله دیفرانسیلی مانند معادله فرارفت یک بعدی در رابطه (1)، در یک زمان خاص یک جواب به صورت یک مد فوریه درنظر گرفته می‌شود:

$$u(x, t) = A_k^t e^{ikx} \quad (3)$$

$$\mu = \frac{c\Delta t}{\Delta x}$$

همانگونه که در شکل ۱۶(ب) مشاهده می‌شود، نامساوی $|A_k| \leq 1$ به ازای عدد کورانت در محدوده $0.57 \leq \mu \leq 1$ برقرار می‌باشد. بنابراین نتیجه گرفته می‌شود که شرط پایداری روش مک‌کورمک فشرده مرتبه چهارم با رابطه تقریبی زیر بیان می‌شود:

$$\mu \leq 0.57 \quad (12)$$

با روشی مشابه، ضریب بزرگ‌نمایی روش مک‌کورمک مرتبه دوم نیز به صورت زیر بدست می‌آید:

$$A_k = 1 - \mu^2 + \mu^2 \cos(k\Delta x) + i\mu \sin(k\Delta x) \quad (13)$$

برای به دست آوردن شرط پایداری روش مک‌کورمک مرتبه دوم $|A_k|$ می‌باید از رابطه بالا به دست آید. در شکل ۱۶(الف) خطوط هم‌مقدار $|A_k|$ برای این روش ترسیم شده است. با توجه به این شکل شرط پایداری خطی برای روش مک‌کورمک مرتبه دوم با رابطه زیر بیان می‌شود:

$$\mu \leq 1 \quad (14)$$

$$u_j^{n+1} = u_j^n - c \frac{\Delta t}{2} [iK_M^F u_j^n + iK_M^B u_j^n + c\Delta t K_M^B K_M^B u_j^n] \quad (9)$$

با درنظر گرفتن رابطه $u_j^{n+1} = A u_j^n$ ، رابطه بالا به شکل زیر درمی‌آید:

$$A_k = 1 - c \frac{\Delta t}{2} [iK_M^F + iK_M^B + c\Delta t K_M^B K_M^B] \quad (10)$$

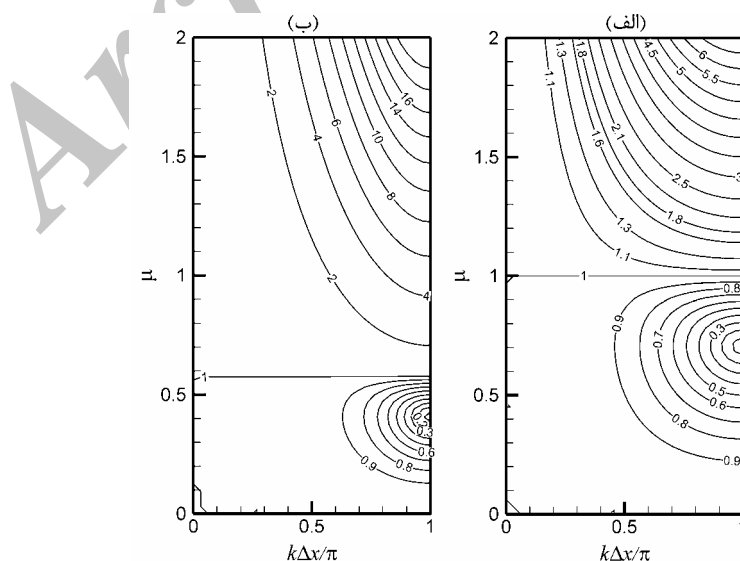
برای بررسی تحلیل پایداری روش مک‌کورمک فشرده مرتبه چهارم می‌باید اندازه ضریب بزرگ‌نمایی و یا به عبارت دیگر $|A_k|$ به دست آید. با توجه به رابطه زیر به دست می‌آید:

$$|A_k| = \sqrt{A_k A_k^*} \quad (11)$$

که در رابطه بالا A_k^* همیوغ مختلط (Complex conjugate) است. برای به دست آوردن شرایط پایداری خطی، اندازه ضریب بزرگ‌نمایی یعنی $|A_k|$ می‌باید در نامساوی زیر صدق کند:

$$|A_k| \leq 1$$

در شکل ۱۶ خطوط هم‌مقدار $|A_k|$ بر حسب عدد کورانت (Courant number) μ و عدد موج رسم شده است. عدد کورانت با رابطه زیر تعریف می‌شود:



شکل ۱۶. خطوط هم‌مقدار $|A_k|$ بر حسب عدد کورانت و عدد موج برای (الف) مک‌کورمک مرتبه دوم و (ب) روش مک‌کورمک فشرده مرتبه چهارم.

قدرتانی

نویسنده‌گان مقاله از دانشگاه تهران برای حمایت از این کار تحقیقاتی تشکر می‌کنند.

منابع

فلاحت، س، ۱۳۸۷، حل عددی شکل پایستار معادلات تراکم‌پذیر دو بعدی و غیرهیدروستاتیک جو بی‌درو با استفاده از روش فشرده مرتبه چهارم، پایان‌نامه کارشناسی ارشد، موسسه ژئوفیزیک دانشگاه تهران.

Esfahanian, V., Ghader, S., and Mohebalhojeh, A. R., 2005, On the use of super compact scheme for spatial differencing in numerical models of the Atmosphere, *Q. J. Roy. Meteorol. Soc.*, **131**, 2109-2130.

Gill, A. E., 1982, *Atmosphere-Ocean Dynamics*, Academic Press, 662 pp.

Helfrich, K. R., Kuo, A. C. and Prat, L. J., 1999, Nonlinear Rossby adjustment in a channel, *J. Fluid. Mech.*, **390**, 187-222.

Hixon, R. and Turkel, E., 2000, Compact implicit MacCormack type schemes with high accuracy, *J. Comput. Phys.*, **158**, 51-70.

Kuo, A. C. and Polvani, L. M., 1997, Time-dependent fully nonlinear geostrophic adjustment, *J. Phys. Ocean.*, **27**, 1614-1634.

Lele, S. k., 1992, Compact finite difference scheme with spectral-like resolution, *J. Comput. Phys.*, **103**, 16-42.

Mohebalhojeh, A. R. and Dritschel, D. G., 2007, Assessing the numerical accuracy of complex spherical shallow water flows. *Mon. Wea. Rev.* **135**, 3876-3894.

Peyret, R. and Taylor, T. D., 1983, *Computational methods for fluid flow*, Springer-Verlag, 231 pp.

Pinchover, Y. and Rubinstein, J., 2005, *An Introduction to Partial Differential Equations*, Cambridge University Press, 371 pp.